

Musterlösung 9

1. Da

$$(F_N)_{km} = \omega_N^{(k-1)(m-1)}$$

ist F_N offensichtlich symmetrisch. Es gilt

$$(F_N F_N^H)_{km} = \sum_{l=1}^N \omega_N^{(k-1)(l-1)} \omega_N^{-(l-1)(m-1)} \quad (1)$$

$$= \sum_{l=0}^{N-1} \omega_N^{(k-m)l} \quad (2)$$

$$= \begin{cases} N & \text{wenn } k = m \\ 0 & \text{sonst} \end{cases} \quad (3)$$

und deshalb $F_N F_N^H = N I_N$ und $\left(\frac{1}{\sqrt{N}} F_N\right) \left(\frac{1}{\sqrt{N}} F_N\right)^H = I_N$.

2. a) Siehe Seite 23 in den Vorlesungsunterlagen

b) function [a] = myfft(x)

%x is a vector of size 2^q

%a is the discrete fourier transform

%length of x

l=length(x);

if l==1

 a=x;

else

 xodd=x(2:2:end);

 xeven=x(1:2:end);

 aodd=myfft(xodd);

 aeven=myfft(xeven);

 a=[aeven;aeven]+exp(-2*pi*1i*linspace(0,1-1/l,l)') .* [aodd;aodd];

end

Bitte wenden!

```
end
```

```
%myfft_test  
x=rand(2048,1);  
norm(fft(x)-myfft(x))
```

- c) Die Matrixmultiplikation benötigt Zeit $(O)(N^2)$. Sei g_N die Laufzeit mithilfe der Gleichung aus a). Es ergibt sich die Rekursionsgleichung $g_N \leq 2g_{N/2} + cN$ mit einer Konstanten $c \in \mathbb{R}$. Wir zeigen nun induktiv, dass $g_{2^q} \leq 2^q(cq + g_1)$. Die Behauptung ist offensichtlich richtig für $q = 0$. Zudem gilt mithilfe der Induktionsvoraussetzung

$$g_{2^{q+1}} \leq 2g_{2^q} + c2^{q+1} \leq 2^{q+1}(cq + g_1) + c2^{q+1} = 2^{q+1}(c(q+1) + g_1).$$

Die Behauptung stimmt also auch für $q + 1$. Die Laufzeit ist also $\mathcal{O}(q2^q) = \mathcal{O}(N \log(N))$.

3. a) %ftransf.m
%Anzahl Stuetzstellen
N=30;
suptitle('Funktionen im Frequenzraum');
%Generiere Stuetzstellen
theta=linspace(-1,1-1/2/N,N);

%f_1
ftheta1=cos(10*pi*theta);
a1=fft(ftheta1);
subplot(1,3,1)
plot(abs(a1).^2)
title('cos(10\pix)')

%f_2
ftheta2=ftheta1+cos(5*pi*theta);
a2=fft(ftheta2);
subplot(1,3,2)
plot(abs(a2).^2)
title('cos(10\pix)+cos(5\pix)')

Siehe nächstes Blatt!

```
%f_3
ftheta3=exp(-pi*theta.^2);
a3=fft(ftheta3);
subplot(1,3,3)
plot(abs(a3).^2)
title('e^{\pix^2}')

print('-dpdf','ftransf.pdf')
```

b) Es ergibt sich:

$$\Delta \mathbf{r}(t) = \sum_{j=1}^{16} \gamma_j \cos\left(\sqrt{\frac{\lambda_j}{m}} t\right) \mathbf{v}_j.$$

c)

```
% Anfangs-Gelenk Koordinaten
theta = 0.25*pi;
r = [1; % 0;x_1
     1; % 1;y_1
     2; % 2;x_2
     1; % 3;y_2
     3; % 4;x_3
     1; % 5;y_3
     4; % 6;x_4
     1; % 7;y_4
     1; % 8;x_5
     0; % 9;y_5
     2; % 10;x_6
     0; % 11;y_6
     3; % 12;x_7
     0; % 13;y_7
     4; % 14;x_8
     0 % 15;x_8
    ];

% Gleichgewichtsmatrix E
c = cos(theta);
s = sin(theta);
% ( 1, 2, 3, 4, 5, 6, 7, 8, 9,10,11,12,13,14,15,16,17,18)
E = [-1, 0, 0, c, 0, 0, 0, 0, 0, 0, 0, 0, 0, 0, 0, 0, 0, 0; % 1
     0, 0, 0, s, 1, 0, 0, 0, 0, 0, 0, 0, 0, 0, 0, 0, 0, 0; % 2
     1,-1, 0, 0, 0, c, 0,-c, 0, 0, 0, 0, 0, 0, 0, 0, 0, 0; % 3
     0, 0, 0, 0, 0, s, 1, s, 0, 0, 0, 0, 0, 0, 0, 0, 0, 0; % 4
     0, 1,-1, 0, 0, 0, 0, 0, c, 0,-c, 0, 0, 0, 0, 0, 0, 0; % 5
```

Bitte wenden!

```

0, 0, 0, 0, 0, 0, 0, 0, 0, s, 1, s, 0, 0, 0, 0, 0, 0, 0; % 6
0, 0, 1, 0, 0, 0, 0, 0, 0, 0, 0, 0, -c, 0, 0, 0, 0, 0; % 7
0, 0, 0, 0, 0, 0, 0, 0, 0, 0, 0, 0, 1, s, 0, 0, 0, 0, 0; % 8
0, 0, 0, 0, 0, 0, -c, 0, 0, 0, 0, 0, 0, 0, 1, -1, 0, 0, 0; % 9
0, 0, 0, 0, 0, -1, -s, 0, 0, 0, 0, 0, 0, 0, 0, 0, 0, 0, 0; % 10
0, 0, 0, 0, 0, 0, 0, 0, 0, -c, 0, 0, 0, 0, 0, 1, -1, 0, 0; % 11
0, 0, 0, 0, 0, 0, -1, 0, -s, 0, 0, 0, 0, 0, 0, 0, 0, 0, 0; % 12
0, 0, 0, 0, 0, 0, 0, c, 0, 0, 0, 0, 0, 0, 0, 1, -1, 0, 0; % 13
0, 0, 0, 0, 0, 0, 0, 0, -s, 0, -1, 0, 0, 0, 0, 0, 0, 0, 0; % 14
0, 0, 0, 0, 0, 0, 0, 0, 0, 0, 0, c, 0, 0, 0, 0, 0, 1, -1; % 15
0, 0, 0, 0, 0, 0, 0, 0, 0, 0, 0, -s, -1, 0, 0, 0, 0, 0, 0; % 16
];

% aeussere Kraefte p
m = 1; % Gelenk Masse
g = 10 ;% Schwerkraft
p = [ 0; % 1
      -m*g; % 2
      0; % 3
      -m*g; % 4
      0; % 5
      -m*g; % 6
      0; % 7
      -m*g; % 8
      0; % 9
      -m*g; % 10
      0; % 11
      -m*g; % 12
      0; % 13
      -m*g; % 14
      0; % 15
      -m*g; % 16
];

% Diagonal Matrix D^-1 = Di
Di = diag([1/norm([r( 1),r( 2)] - [r( 3),r( 4)]) % Stab 1
           1/norm([r( 3),r( 4)] - [r( 5),r( 6)]) % Stab 2
           1/norm([r( 5),r( 6)] - [r( 7),r( 8)]) % Stab 3
           1/norm([ 0, 0] - [r( 1),r( 2)]) % Stab 4
           1/norm([r( 9),r(10)] - [r( 1),r( 2)]) % Stab 5
           1/norm([r( 9),r(10)] - [r( 3),r( 4)]) % Stab 6
           1/norm([r(11),r(12)] - [r( 3),r( 4)]) % Stab 7

```

Siehe nächstes Blatt!

```

1/norm([r( 3),r( 4)] - [r(13),r(14)]) % Stab 8
1/norm([r(11),r(12)] - [r( 5),r( 6)]) % Stab 9
1/norm([r(13),r(14)] - [r( 5),r( 6)]) % Stab 10
1/norm([r( 5),r( 6)] - [r(15),r(16)]) % Stab 11
1/norm([r(15),r(16)] - [r( 7),r( 8)]) % Stab 12
1/norm([ 5, 0] - [r( 7),r( 8)]) % Stab 13
1/norm([ 0, 0] - [r( 9),r(10)]) % Stab 14
1/norm([r( 9),r(10)] - [r(11),r(12)]) % Stab 15
1/norm([r(11),r(12)] - [r(13),r(14)]) % Stab 16
1/norm([r(13),r(14)] - [r(15),r(16)]) % Stab 17
1/norm([ 5, 0] - [r(15),r(16)]) % Stab 18
]);

% Matrix A ausstellen
eta = 2500; % Elastizitätsmodule
% Stelle hier die Matrix A auf
% A
A = eta*E*Di*E';

%Eigenwerte w und Eigenvektoren v der Matrix zum Vergleich
[V,D] = eig(A);
w=diag(D);

%Eigenfrequenzen
freq=sqrt(w/m)/2/pi

% plot der x,y Koordinaten Bewegungen des 1. Gelenks
plot(time,x_01,time,y_01)
xlabel('Time');
ylabel('Auslenkung');
legend('x_1','y_1');
print('-dpdf','BewGel.pdf')

%Fourier transformation fuer die x,y Koordinaten des 1. Gelenks
ax=fft(x_01);
ay=fft(y_01);

%Zeitintervall der Messung: [0,T] mit T = 20 s
T = 20;

```

Bitte wenden!

```
%Anzahl Messunkte
N=4096;
```

```
%Energiespektrum
freq=(1:N)/T;
figure;
loglog(freq,abs(ax).^2,freq,abs(ay).^2)
title('Energiespektrum')
xlabel('Frequenz')
ylabel('Quadrat des Betrags des entsprechenden Fourierkoeffizienten')
print('-dpdf','Energiespektrum.pdf')
freq(find(abs(ax).^2+abs(ay).^2>10^2))
```

Das Energiespektrum ist in Abbildung 2 zu sehen. Daraus und mit der Beziehung für die Eigenfrequenz $\omega = \frac{\sqrt{\lambda}}{2\pi}$ sehen wir, dass das gemessene Signal aus den Eigenschwingungen mit den Frequenzen $\omega \approx 1.5096$, $\omega \approx 3.1108$ und $\omega \approx 15.0930$ zusammengesetzt ist.

4. a) Es gilt

$$\alpha_k = \int_0^1 e^{-2\pi i k t} f(t) dt \quad (4)$$

$$= \int_a^b e^{-2\pi i k t} dt \quad (5)$$

$$= \begin{cases} (b-a) & k=0 \\ \frac{-1}{2\pi i k} e^{-2\pi i k t} \Big|_a^b & k \neq 0 \end{cases} \quad (6)$$

Zudem ist

$$\frac{-1}{2\pi i k} e^{-2\pi i k t} \Big|_a^b = \frac{1}{k\pi} e^{-\pi i k(a+b)} \frac{e^{\pi i k(b-a)} - e^{-\pi i k(b-a)}}{2i} \quad (7)$$

$$= \frac{1}{k\pi} e^{-\pi i k(a+b)} \sin(\pi k(b-a)). \quad (8)$$

b)

Das Maximum der Approximationen ist jeweils

Siehe nächstes Blatt!

n	$\ f_n\ _\infty$
5	1.0942
25	1.0897
100	1.0895
500	1.0892

Es fällt auf das $\|f_n\|_\infty$ nicht gegen $\|f\|_\infty = 1$ sondern gegen einen anderen Wert zu konvergieren scheint. Es treten sogenannte Überschwingungen auf. Dieses Verhalten der Approximationsfunktionen wird Gibbsches Phänomen genannt.

c) Die Funktion g_n ist die trigonometrische Interpolation von f .

```
function [a] = trigint(y)
%Trigonometrische Interpolation

m=max(size(y));
n=(m-1)/2;
%Inverse Fouriertransform
yt=ifft(y);

%Reorder vector elements
a=zeros(1,m);
a(1:n+1)=yt(n+1:-1:1);
a(n+2:m)=yt(m:-1:n+2);

end

f=@(x) 1-(x<.25)-(x>.75);

%Es werden die Approximation T_k(1),...,T_k(m) berechnet
k=[5 25 100 500];
m=4;

%Gitterpunkte an denen die Funktionen ausgewertet werden
nx=10000;
x=linspace(0,1,nx);

%Werte der Approximationen an Gitterpunkten
y=zeros(m,nx);

%Werte der Basisfunktionen an Gitterpunkten
W=zeros(2*k(m)+1,nx);
```

Bitte wenden!

```

kmax=k(m);
for j=-kmax:kmax
    W(j+kmax+1,:)=exp(2*pi*1i*j*x);
end

%trigonometrische Interpolation
for i=1:m
    yk=f(linspace(0,1-1/(2*k(i)+1),2*k(i)+1));
    fhat=trigint(yk);
    y(i,:)=fhat*W(kmax+1-k(i):kmax+1+k(i),:);
end
y=real(y);

%exakte Werte
fx=f(x);

%Fehler berechnen
err=max(y,[],2)

%Funktionen plotten
figure(2);
plot(x,fx,x,y(1,:),x,y(2,:),x,y(3,:),x,y(4,:));
legend('f',['T_{' num2str(k(1)) '}''],['T_{' num2str(k(2)) '}''],...
    ['T_{' num2str(k(3)) '}''],['T_{' num2str(k(4)) '}'']]);
print('-dpdf','trigint_treppe.pdf');

```

Es ergibt sich ein ähnliches Bild wie in b). Das Maximum der Approximationen ist jeweils

n	$\ f_n\ _\infty$
5	1.1873
25	1.1507
100	1.1436
500	1.1404

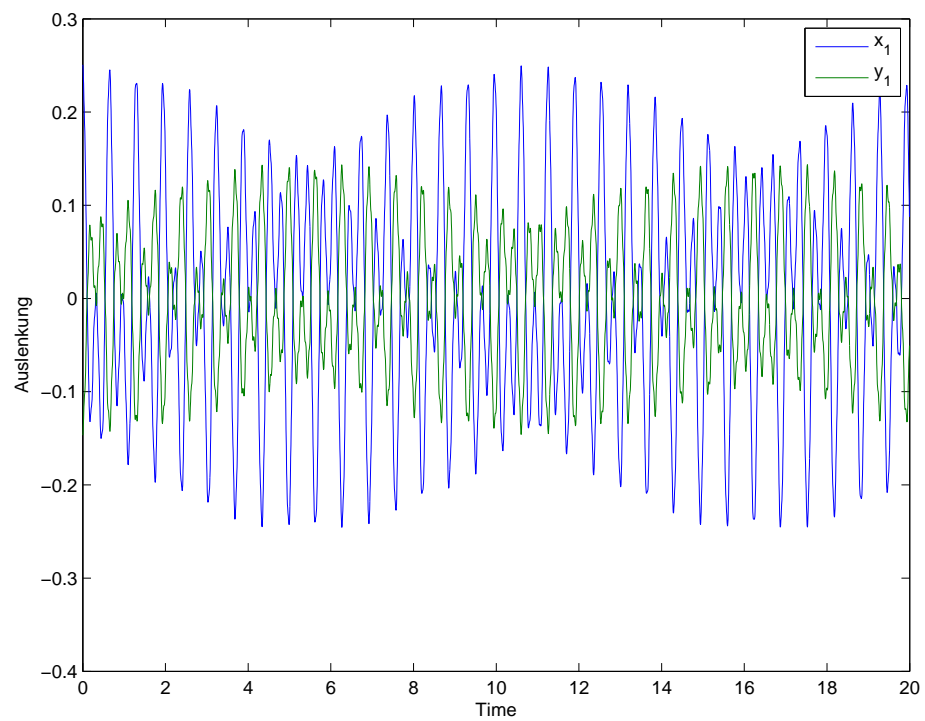


Abbildung 1: Bewegungen des 1. Gelenks.

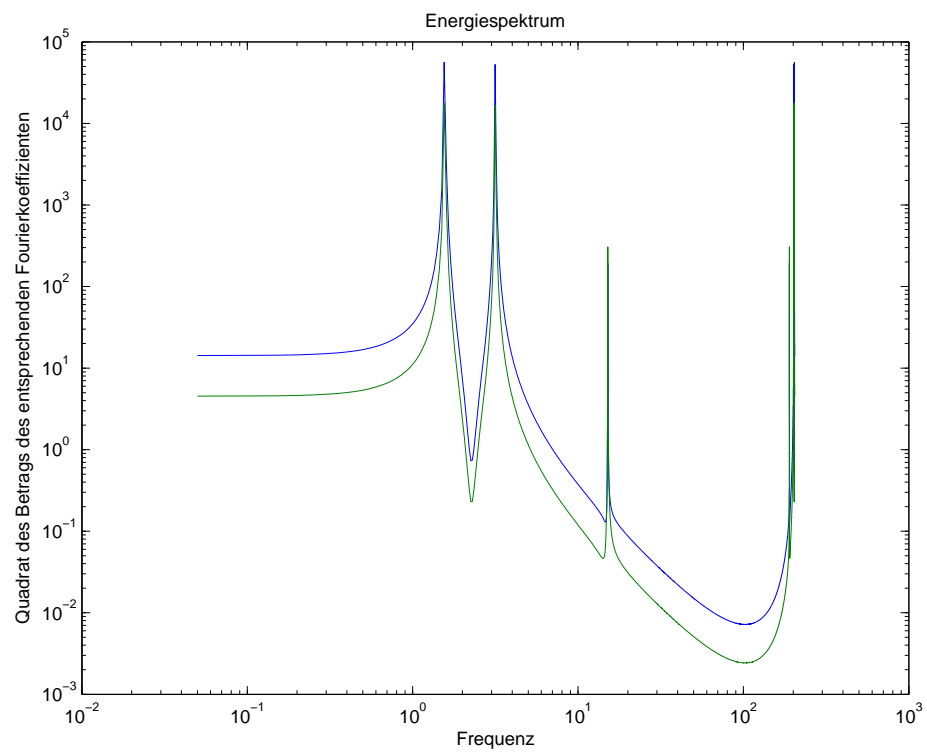


Abbildung 2: Energiespektrum des gemessenen Signals.

